

## ЭЛЕКТРИЧЕСКИЙ РАЗРЯД В ПОРОШКОВОМ ТЭНЕ

П. И. Зубков, Л. А. Лукьяниченко

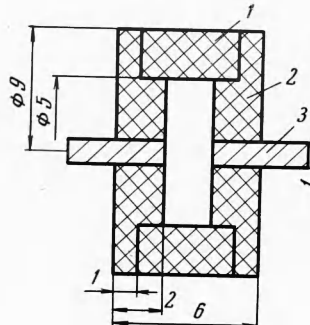
(Новосибирск)

Приводятся некоторые результаты осциллографических исследований электрического разряда в порошковом тэне плотности  $(0.5 - 1.2) \text{ г} \cdot \text{см}^{-3}$ . Используется гидродинамическая модель развития токопроводящего канала; даются оценки быстроты его развития, значения его радиуса и проводимости в нем. Показано, что продукты превращения тэна обладают проводимостью не выше, чем  $7 \cdot 10^6 \text{ сек}^{-1}$ .

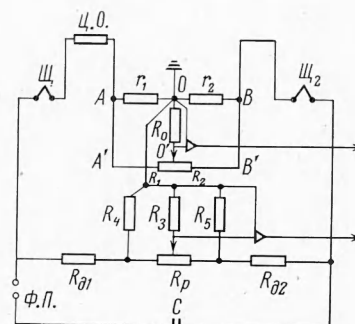
В стационарной детонации конденсированных взрывчатых веществ зарегистрирована зона достаточно высокой электропроводимости. В работе [1] дается оценка электропроводимости продуктов взрыва, определяемая термической ионизацией по экспериментально измеренной температуре продуктов детонации взрывчатых веществ. Ее значение лежит в пределах от  $10^7$  до  $10^9 \text{ сек}^{-1}$ . Авторы работы [2] измерили электропроводимость продуктов взрыва, она оказалась существенно выше оценочных значений работы [1] и составила  $(0.23 - 5.00) \cdot 10^{12} \text{ сек}^{-1}$ . Однако анализ осциллограмм, приведенных в [2], показывает, что высокой электропроводимостью обладает узкая зона во фронте детонационной волны, сами же продукты, если и проводят, то проводимостью их, по-видимому, не выше оценок работы [1]. Исключить влияние детонационного фронта на процесс измерений удается при инициировании порошковых ВВ электрическим разрядом.

Ниже приведены результаты исследования электрического разряда в порошковом тэне малой плотности ( $0.5 - 1.2 \text{ г} \cdot \text{см}^{-3}$ ), заключенном в оболочку из оргстекла. Схема ее приведена на фиг. 1, где 1 — корпус, 2 — крышка, 3 — электрод. Показано, что продукты превращения, находящиеся под высоким давлением имеют электропроводимость, не превышающую  $7 \cdot 10^6 \text{ сек}^{-1}$ .

В процессе исследования изменялись плотность и дисперсность частиц тэна. Ток и напряжение электрического разряда измерялись посредством осциллографирования с использованием схемы компенсации (фиг. 2). Применение известных схем измерения тока и напряжения в данном случае затрудняется большой агрессивностью взрыва.



Фиг. 1



Фиг. 2

Особенности работы указанной выше схемы заключаются в следующем. При разряде конденсатора  $C$  по участку контура  $AOB$  течет практически весь разрядный ток, так как величины сопротивлений  $r_1$  и  $r_2$  много меньше сопротивлений  $R_1$  и  $R_2$  соответственно. Примем потенциал точки  $O$  за нулевой. В некоторый момент потенциал точки  $A$  относительно  $O$  будет равен

$$U_1 = r_1 I + L_1 \frac{dI}{dt}$$

а потенциал точки  $B$  относительно  $O$  будет

$$U_2 = - \left( r_2 I + L_2 \frac{dI}{dt} \right)$$

Здесь  $I$  — ток в контуре,  $L_1$ ,  $L_2$  — индуктивность контуров  $AOO'A'$ ,  $BOO'B'$  соответственно. Параметры контуров  $AOO'A'$  и  $BOO'B'$  подбираются таким образом, чтобы  $L_1 = L_2$ , а  $r_1 \neq r_2$ .

Тогда падение напряжения на участке  $AB$  будет

$$U = U_1 + U_2 = (r_1 + r_2) I$$

Сигнал, снимаемый с сопротивления  $R_6$ , пропорционален  $U$ . В большинстве случаев с достаточной степенью точности можно положить  $r_2 = 0$  (медная проволока). Для проверки сбалансированности схемы в измерительное плечо вместо сопротивления  $r_1$  включается сопротивление, по номиналу и форме совпадающее с  $r_2$ . Если схема сбалансирована, то осциллограмма тока совпадает с нулевой линией данного луча.

Схема для измерения напряжения построена по тому же принципу, что и токовая, от которой она отличается только величиной сопротивлений в плечах компенсации. Балансировка схемы осуществляется при закороченном промежутке. В этом случае осциллограмма напряжения должна совпадать с нулевой линией данного луча.

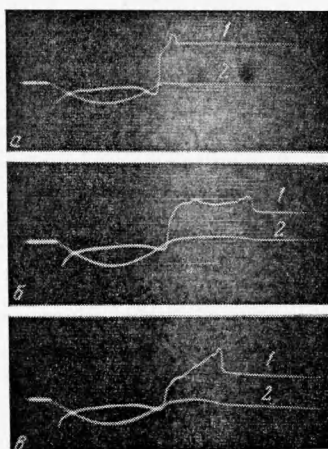
Параметры разрядного контура во всех экспериментах были одинаковы и составляли  $C \sim 0,1 \text{ мкФ}$  и  $L \sim 4 \text{ мкГн}$ . Изменение начального напряжения на конденсаторе позволяло получать различные мощность и энергию, выделяющиеся в исследуемом промежутке, величина которого во всех экспериментах была равна 2 мм. Примеры осциллограмм тока и напряжения электрического разряда в порошковом тэне приведены на фиг. 3, а, б, в.

Общий ход напряжения на промежутке при электрическом разряде в порошковом тэне исследуемой плотности и дисперсности может быть представлен последовательностью четырех стадий. Первые три стадии по своему характеру аналогичны трем стадиям электрического разряда в воздухе при нормальных условиях, однако уже во второй стадии начинаются существенные отличия, характеризующие более медленным падением напряжения на промежутке и его большей величиной. Продолжительности первых трех стадий и величины напряжений в них определяются параметрами тэна (плотность, дисперсность) и начальным напряжением на разрядной емкости и составляют для второй стадии  $(0.5-1) \cdot 10^{-6} \text{ сек}$ ,  $(0.5-1.2) \cdot 10^{-6} \text{ сек}$  — для стадии дуги. Характер дуги электрического разряда в порошковом тэне зависит от энергии, выделившейся в исследуемом промежутке к этому времени.

Если выделившаяся энергия достаточна для возникновения самоподдерживающегося превращения тэна, то стадия дуги переходит в четвертую стадию, отсутствующую при электрических разрядах в газах. Первые три стадии имеют место только в первом полупериоде разряда. Четвертая же стадия в зависимости от параметров тэна и начального напряжения на разрядной емкости реализуется или в конце первого полупериода, или в начале второго. В конце первого полупериода она имеет место при разряде в порошковом тэне плотности  $0.5-0.6 \text{ г/см}^3$  и начальном напряжении  $8-10 \text{ кв}$ , а также при плотности  $1-1.2 \text{ г/см}^3$  и начальном напряжении  $13-15 \text{ кв}$  (фиг. 3, а; где 1 — напряжение на исследуемом промежутке, 2 — ток в контуре). В этом случае характерной особенностью четвертой стадии является быстрый (за время  $0.5 \cdot 10^{-6} \text{ сек}$ ) рост напряжения от дугового до  $1.5-2 \text{ кв}$  и более, затем резкий спад за время  $\sim 10^{-7} \text{ сек}$ . Как правило, пробой промежутка во втором полупериоде не происходит, на промежутке остается напряжение  $3-6 \text{ кв}$ . Разряд прекращается.

Увеличение начального напряжения на разрядной емкости при разряде в порошковом тэне плотности  $0.5-0.6 \text{ г/см}^3$  приводит к тому, что, начиная с  $11 \text{ кв}$ , четвертая стадия передвигается во второй полупериод (фиг. 3, б). Во втором полупериоде она имеет место и при разряде в порошковом тэне плотности  $0.7-0.9 \text{ г/см}^3$  при напряжении на емкости  $10-15 \text{ кв}$ . В этом случае в начале второго полупериода напряжение на исследуемом промежутке растет до  $1-1.5 \text{ кв}$  за время  $\sim 2 \cdot 10^{-7} \text{ сек}$ , затем медленно падает на  $300-400 \text{ в}$  к середине полупериода и снова растет, достигая в конце полупериода  $1.5-2 \text{ кв}$ . По окончании второго полупериода напряжение резко падает, и разряд прекращается. В некоторых случаях (фиг. 3, в) напряжение в начале четвертой стадии растет более медленно и достигает  $5-6 \text{ кв}$ , затем за время  $10^{-7} \text{ сек}$  падает до  $2-4 \text{ кв}$ . В этом случае разряд гаснет в середине второго полупериода. Гашение разряда фиксируется по нулевому значению тока.

Анализ осциллограмм показывает, что ток первого полупериода во всех случаях определяется параметрами разрядного контура и совпадает по величине с током газового разряда. Если же четвертая стадия имеет место во втором полупериоде, то ток в этом случае в 2-3 раза меньше тока газового разряда.



Фиг. 3

По осцилограммам тока и напряжения можно вычислить энергию, выделяющуюся в промежутке, и сопротивление промежутка как функции времени; соответствующие зависимости представлены на фиг. 4, кривые 1 и 1' для  $\rho_0 = 0.6 \text{ г/см}^3$ ,  $U_0 = 10 \text{ кв}$ , кривые 2 и 2' для  $\rho_0 = 0.5 \text{ г/см}^3$ ,  $U_0 = 10 \text{ кв}$ . Следует отметить, что при электрическом разряде в порошковом тэне энергия, выделяющаяся в промежутке, в 3—5 раз больше энергии газового разряда при нормальных условиях.

Развитие электрического разряда в газах носит гидродинамический характер. Выделяющаяся в разрядном промежутке энергия приводит к появлению сильной расходящейся цилиндрической ударной волны, осуществляющей практически полную ионизацию газа [3]. Фронт волны является в этом случае границей токопроводящей зоны канала, развитие которой осуществляется во второй стадии [4].

В случае электрического разряда в порошковом тэне плотность энергии в промежутке через  $0.2 - 10^{-6} \text{ сек}$  после начала разряда (когда, судя по осцилограммам, энерговыделение тэном можно считать несущественным) оказывается  $10^2 \text{ кал/см}^3$ , т. е. того же порядка, что и плотность энергии малокалорийных ВВ. Поэтому можно предположить, что развитие электрического разряда в порошковом тэне, так же как и в газах, происходит по гидродинамической модели.

Однако в этом случае образовавшаяся при пробое промежутка ударная волна, по-видимому, не является границей токопроводящего канала. Канал ограничен ускоренным ударной волной веществом, а его развитие осуществляется за счет ионизации газа в объеме, освобожденном радиально расширяющимся тэном, скорость движения которого определяется интенсивностью ударной волны и энерговыделением в промежутке.

Значение плотности энергии было получено по величине энергии, выделившейся в промежутке, и по оценкам радиуса токопроводящего канала (таблица). Следует заметить, что плотность энергии в промежутке с течением времени падает, следовательно, сразу же после пробоя ее значение, по-видимому, не меньше, чем  $10^2 \text{ кал/см}^3$ .

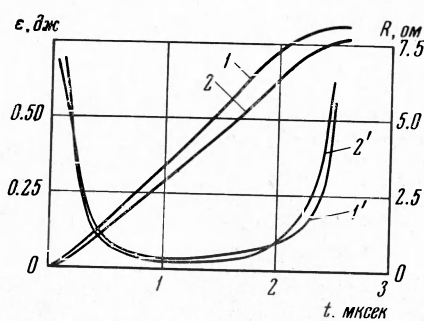
Продолжительность второй стадии разряда в порошковом тэне (стадии развития токопроводящего канала) на порядок больше второй стадии разряда в газе. Это, вероятно, связано с тем, что скорость ударной волны в тэне существенно меньше скорости ударной волны в воздухе, несмотря на большую (в 3—5 раз) энергию, выделившуюся в промежутке. Зная эту энергию из экспериментов, можно на основании предполагаемой гидродинамической модели оценить скорость развития токопроводящего канала.

$t \cdot 10^7 = 2$	4	6	8	10	(сек)
$V = 650$	560	500	460	450	(м/сек)
$r \cdot 10^2 = 1.7$	2.9	4.0	5.0	5.7	(см)
$s \cdot 10^{-14} = 0.40$	0.46	0.47	0.49	0.47	(сек <sup>-1</sup> )

В таблице приведены оценочные значения скорости развития токопроводящего канала, значение его радиуса и проводимости в канале. Как и предполагалось, скорость развития токопроводящего канала в рассматриваемом случае оказалась почти на порядок меньше скорости развития канала при разряде в газе [4].

Оценка величин, приведенных в таблице, производилась в предположении, что канал цилиндрический, а ударная волна считалась достаточно сильной, чтобы преодолеть начальным давлением, но недостаточной для сжатия кристаллического вещества и для возбуждения детонационного превращения тэна. Последнее предположение оправдано тем, что характер осцилограмм напряжения на промежутке начинает меняться только после стадии дуги. Далее предполагалось, что в зоне ударного перехода осуществляется сжатие тэна до плотности, близкой к монокристаллу, вещество за ударным переходом считалось несжимаемым и пренебрегалось развитием токопроводящего канала за счет увеличения степени ионизации газа в нем (оценка проводимости дает практически постоянную величину (таблица)). Последние предположения довольно произвольны.

По оценочным значениям радиуса токопроводящего канала в предположении, что в области, занятой тэном, плотность тока равна нулю, вычислена электропроводимость плазмы разряда. Она оказалась совпадающей с проводимостью плазмы газового разряда [5], что может косвенно свидетельствовать в пользу сделанных выше предположений.



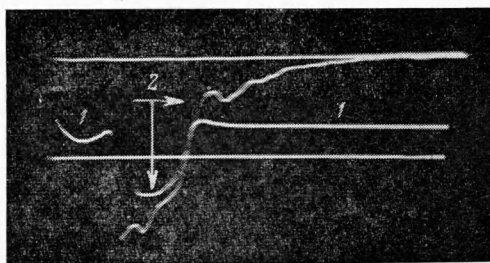
Фиг. 4

В таблице приведены оценочные значения скорости развития токопроводящего канала, значение его радиуса и проводимости в канале. Как и предполагалось, скорость развития токопроводящего канала в рассматриваемом случае оказалась почти на порядок меньше скорости развития канала при разряде в газе [4].

Оценка величин, приведенных в таблице, производилась в предположении, что канал цилиндрический, а ударная волна считалась достаточно сильной, чтобы преодолеть начальным давлением, но недостаточной для сжатия кристаллического вещества и для возбуждения детонационного превращения тэна. Последнее предположение оправдано тем, что характер осцилограмм напряжения на промежутке начинает меняться только после стадии дуги. Далее предполагалось, что в зоне ударного перехода осуществляется сжатие тэна до плотности, близкой к монокристаллу, вещество за ударным переходом считалось несжимаемым и пренебрегалось развитием токопроводящего канала за счет увеличения степени ионизации газа в нем (оценка проводимости дает практически постоянную величину (таблица)). Последние предположения довольно произвольны.

По оценочным значениям радиуса токопроводящего канала в предположении, что в области, занятой тэном, плотность тока равна нулю, вычислена электропроводимость плазмы разряда. Она оказалась совпадающей с проводимостью плазмы газового разряда [5], что может косвенно свидетельствовать в пользу сделанных выше предположений.

В стадии дуги сопротивление промежутка считается практически постоянным и составляет 0.3—0.5 ом. По-видимому, к этому времени развитие токопроводящего канала заканчивается, а начавшееся превращение тэна еще не может существенно повлиять на ионизацию плазмы дуги. Часть выделяющейся в промежутке энергии концентрируется в виде тепла в прогретом слое частиц тэна. Это приводит к тому, что при достижении некоторой температуры скорость превращения тэна оказывается такой, что продукты превращения начинают значительно сказываться на параметрах разряда. Вероятно, этот момент может быть связан с моментом перехода разряда из стадии дуги в четвертую стадию. Место четвертой стадии в разряде будет определяться временем прогрева частиц тэна и скоростью его превращения. Оба эти фактора должны зависеть от размера частиц и плотности заряжения, что и наблюдается в экспериментах.



Фиг. 5

Как указывалось выше, одной из характерных особенностей разряда в порошковом тэне является обрыв тока или в конце первого полупериода, или во втором. Обрыв тока происходит за счет взаимодействия высокопроводящей зоны канала с продуктами превращения тэна, находящимися под высоким давлением. По-видимому, продукты превращения к этому времени обладают низкой проводимостью. Для оценки этой проводимости была предпринята попытка измерить ток в конце четвертой стадии разряда. Сигнал датчика тока через диодный ограничитель подавался на вход усилителя осциллографа ОК-17М. На осциллограмме (фиг. 5, где 1 — напряжение на исследуемом промежутке, 2 — ток в контуре, снятый через ограничитель) видно, что через  $8 \cdot 10^{-6}$  сек после начала разряда при данной точности измерений величина тока не может отличаться от нулевой. (Несовпадение фазы тока и напряжения на участке  $4 \cdot 10^{-6}$  сек в конце разряда объясняется плохой переходной характеристикой ограничителя.) Для оценки электропроводимости сверху предположим, что возможная зона проводимости ограничена областью, равной по диаметру разрядному электроду (1 м). В этом случае проводимость продуктов не выше  $7 \cdot 10^6$   $\text{сек}^{-1}$ .

Поступила 8 XII 1969

## ЛИТЕРАТУРА

- Алинцев М. Н., Беляев А. Ф., Соболев Н. Н., Степанов Б. М. Измерение температуры сведения взрыва взрывчатых веществ оптическим методом. ЖЭТФ, 1946, т. 16, вып. 11.
- Бриш А. А., Тарасов М. С., Цукерман В. А. Электропроводность продуктов взрыва конденсированных веществ. ЖЭТФ, 1959, т. 37, вып. 6.
- Мандельштам С. Л., Суходрев Н. К. Элементарные процессы в канале искрового разряда. ЖЭТФ, 1953, т. 24, вып. 6.
- Гегечкори Н. М. Экспериментальное исследование канала искрового разряда. ЖЭТФ, т. 21, вып. 4.
- Абрамсон И. С., Гегечкори Н. М. Осциллографические исследования разряда. ЖЭТФ, 1951, т. 21, вып. 4.